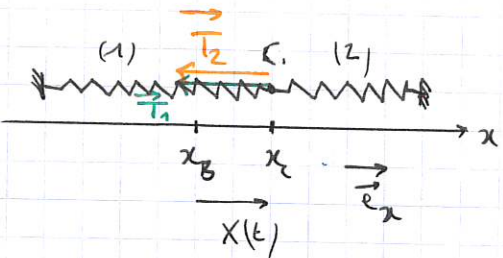


FONCTIONNEMENT ET TECHNOLOGIES DE L'ACCÉLÉROMÈTRE

(Centrale-Supélec - TSI - 2015)

A1 a) $\vec{T}_1 = -k \times \vec{e}_x$
 $\vec{T}_2 = -k \times \vec{e}_x$



b) Posons R : référentiel terrestre galiléen

R_b : " du boîtier de translation rectiligne accéléré dans R

$$\vec{v}_R(C) = \vec{v}_{R_b}(C) - \vec{v}_{R_b}(C) = (\dot{x}_c - \dot{x}_B) \vec{e}_x = \dot{x} \vec{e}_x \quad \text{donc } \underline{\text{NON GALILEEN}}$$

c) Théorème du centre d'inertie appliqué à C dans R_b :

$$m \vec{a}_{R_b}(C) = \vec{T}_1 + \vec{T}_2 + \vec{F}_f + \vec{P} + \vec{R} + \vec{F}_{ie} \quad \text{ou } \vec{F}_{ie} = -ma$$

force d'inertie d'entraînement

$$\vec{a}_{R_b}(C) = \left(\frac{d}{dt} (\vec{v}_{R_b}(C)) \right)_{R_b} = (\ddot{x}_c - \ddot{x}_B) \vec{e}_x = \ddot{x} \vec{e}_x$$

Projection selon \vec{e}_x : $m \ddot{x} = -2kx - 2f\dot{x} - ma$

$$\Rightarrow \ddot{x} + \frac{2f}{m} \dot{x} + \frac{2k}{m} x = -a \quad \text{On pose: } \omega_0 = \sqrt{\frac{2k}{m}}$$

$$Q = \frac{m}{2f} \omega_0 = \frac{1}{f} \sqrt{\frac{km}{2}}$$

A2 a) L'équation du mouvement étant linéaire en régime sinusoidal forcé, on cherche une solution sinusoidale de même pulsation et déphasée a priori.

$$X(t) = X_m \cos(\omega t + \varphi)$$

b) Notation complexe : $\underline{a}(t) = \underline{a}_m e^{i\omega t}$; $\underline{X}(t) = \underline{X}_m e^{i\omega t}$; $\underline{X}_m = X_m e^{i\varphi}$

On injecte cette solution dans l'équation du mouvement complexe :

$$-\omega^2 \underline{X}_m e^{i\omega t} + i \frac{\omega_0 \omega}{Q} \underline{X}_m e^{i\omega t} + \omega_0^2 \underline{X}_m e^{i\omega t} = -\underline{a}_m e^{i\omega t}$$

$$\Rightarrow \underline{X}_m = -\frac{\underline{a}_m}{\omega_0^2 - \omega^2 + i \frac{\omega_0 \omega}{Q}}$$

$$c) \frac{\underline{X}_m}{\underline{a}_m / \omega_0^2} = -\frac{1}{1 - \frac{\omega^2}{\omega_0^2} + i \frac{\omega}{\omega_0 Q}} \begin{array}{l} \simeq -1 \quad \text{en basses fréquences: } \frac{\omega}{\omega_0} \ll 1 \\ \simeq \frac{\omega_0^2}{\omega^2} \quad \text{en hautes fréquences: } \frac{\omega}{\omega_0} \gg 1 \end{array}$$

Pour $\frac{\omega}{\omega_0} \ll 1$: $\underline{X}_m \simeq -\frac{\underline{a}_m}{\omega_0^2}$

$$\rightarrow \underline{X}(t) = -\frac{\underline{a}_m}{\omega_0^2} \cos(\omega t) = -\frac{\underline{a}(t)}{\omega_0^2}$$

Dans le basse fréquence, $X(t)$ est proportionnelle à $\alpha(t)$, avec le coefficient $-\frac{1}{\omega_0^2}$. 2

$$d) \frac{X_m}{\text{am} / \omega_0^2} = \left| \frac{X_m}{\frac{\text{am}}{\omega_0^2}} \right| = \frac{1}{\sqrt{(1-x^2)^2 + \left(\frac{u}{Q}\right)^2}}$$

e) La résonance se manifeste ici par un maximum de X_m pour une fréquence f_r d'une courtoise spectrale prescrite dans l'accélération.

X_m est maximal si $y = \frac{X_m}{\text{am} / \omega_0^2}$ voit sa dérivée première s'annuler

$$y(x) = \frac{1}{\sqrt{R(x)}} ; \quad \frac{dy}{dx} = -R(x)^{-3/2} \frac{dR}{dx} \quad \text{s'annule si } \frac{dR}{dx} \text{ s'annule.}$$

$$\frac{dR}{dx} = \frac{dR}{dx^2} \times \frac{dx^2}{dx} = 2x \frac{dR}{dx^2} \quad \text{s'annule en } x_r \neq 0 \quad \text{si } \frac{dR}{dx^2} \text{ s'annule}$$

$$\frac{dR}{dx^2} = -2(1-x^2) + \frac{1}{Q^2} = 0 \Rightarrow x = x_r = \sqrt{1 - \frac{1}{2Q^2}} \quad x_r = \frac{f_r}{f_0}$$

Si $x_r = f_r \sqrt{1 - \frac{1}{2Q^2}}$ Cette résonance n'existe que si $Q > \frac{1}{\sqrt{2}}$

$$f_r = f_0 \sqrt{1 - \frac{1}{2Q^2}} \quad f_0 = \frac{f_r}{\sqrt{1 - \frac{1}{2Q^2}}} = 5,5 \text{ kHz} \approx f_r$$

Dans le domaine basse fréquence d'accélération $X_m = \frac{\text{am}}{\omega_0^2} = \frac{\text{am}}{(2\pi f)^2}$

$$\text{AN: } \text{am} = 1g = 9,81 \text{ m/s}^2 \rightarrow X_m = 8,1 \text{ nm}$$

C'est l'ordre de grandeur d'un rayon atomique, donc tel quel très en deçà de la capacité d'un MEMS type matrice dessiné.

$$81 a) E_p = \frac{1}{2} CV^2 = \frac{1}{2} \frac{Coe}{e+x} U^2$$

$$b) \vec{F} = -\nabla E_p = -\frac{dE_p}{dx} \vec{ex} = \frac{Coe}{2(e+x)^2} U^2 \vec{ex} = \vec{F}$$

$$c) F = \|\vec{F}\| = \frac{Co}{2e} U^2 = 5 \cdot 10^{-2} \text{ N}$$

$$d) m = 1 \mu g \rightarrow \frac{F}{m} = 5 \cdot 10^{-2} \text{ m/s}^2 \approx 5,10^{-3} \text{ g} \quad \text{dans la force}$$

électrique en jeu semble sous-dimensionné pour mesurer une accélération de l'ordre de g.

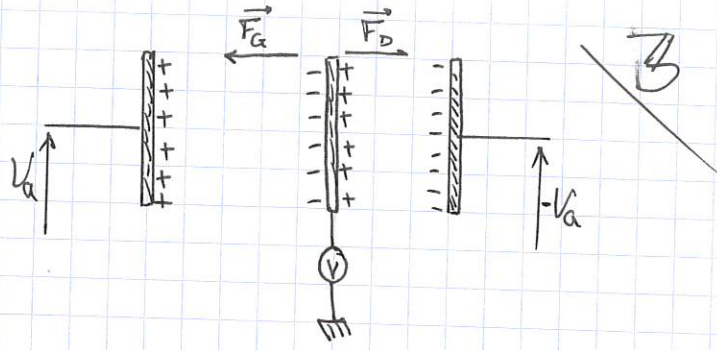
$$B2a) \quad \vec{F} = \vec{F}_G + \vec{F}_D$$

$$\vec{F} = -\frac{C_0 e}{2(e+X)} (V_a - V)^2 \vec{e}_n$$

$$+ \frac{C_0 e}{2(e-X)} (V_a + V)^2 \vec{e}_n$$

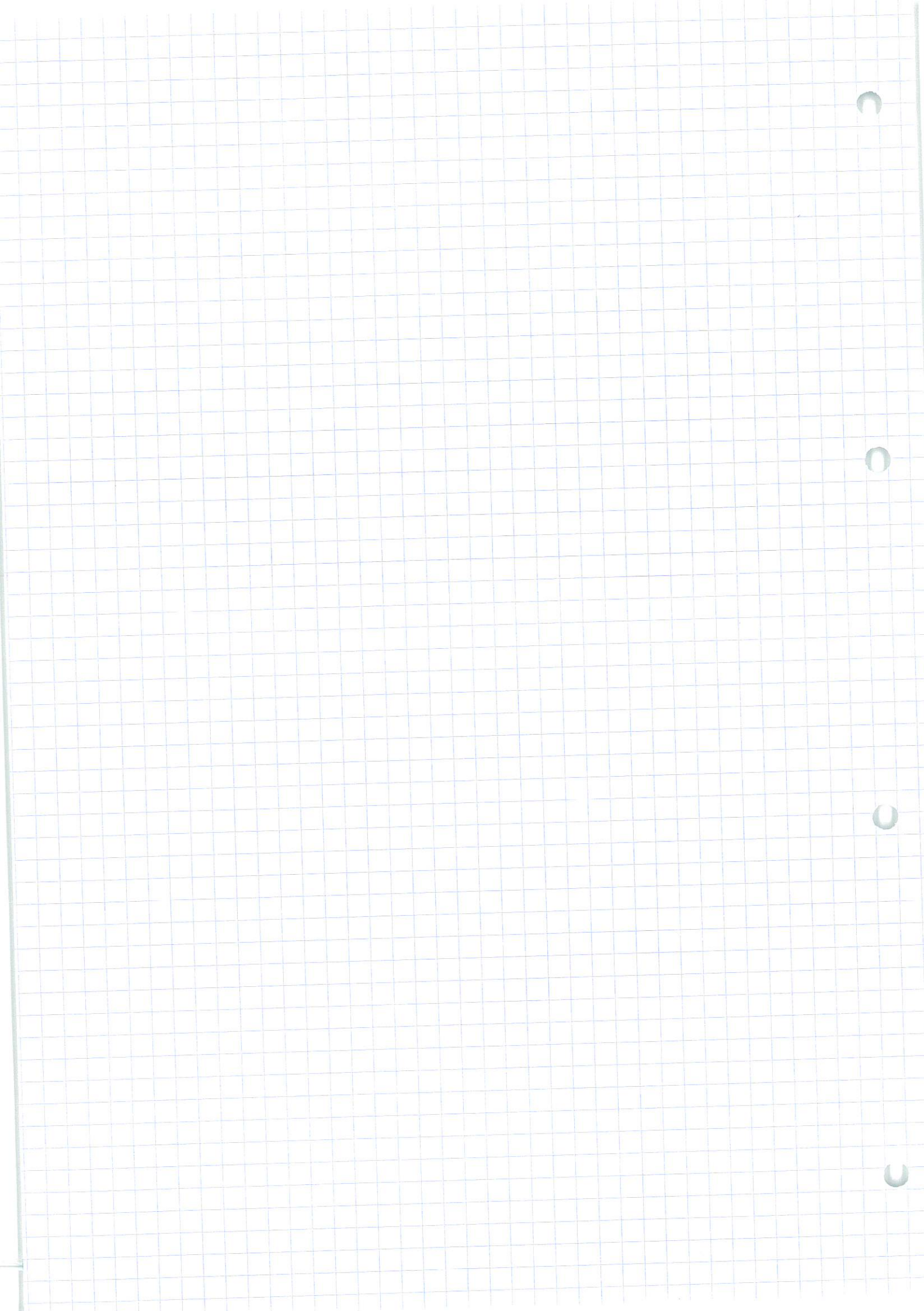
$$\rightarrow \vec{F} = \frac{C_0 e}{2} \left[\left(\frac{V_a + V}{e-X} \right)^2 - \left(\frac{V_a - V}{e+X} \right)^2 \right] \vec{e}_n \quad \text{où } V = -V_a \frac{X}{e}$$

$$= \frac{C_0 V_a^2}{2e} \left[\left(\frac{e-X}{e-X} \right)^2 - \left(\frac{e+X}{e+X} \right)^2 \right] \vec{e}_n = \vec{0}$$



b) * Si l'électrode n'est soumise à aucune force dans \vec{R} . Elle y reste donc immobile.

- ② * le TRC dans \vec{R}_b se réduit à $X = -a$ selon \vec{e}_n . $\Rightarrow X_m = -\frac{a}{\omega^2}$
- $$\Rightarrow V_m = -V_a \frac{X_m}{e} = V_a \frac{a}{e \omega^2}$$
- dépend de
- ω^2
- contrairement au 1
- ^{er}
- dispositif
- * On mesure V ; Pour $\omega \approx 10 \text{ rad s}^{-1}$, $V_m \approx 10^5 \text{ V}$
 - ⊕ Potentiels mesurables mais attention aux arcs électriques



ONDE SUR CORDE SUSPÉNDUE

(Mines-Ponts - PC - 2007)

1. En M, s'ajoute à la tension $T(A)$ le poids de la corde en aval

$$T(M) = T(A) + \mu g(L-z) \quad \text{soit} \quad T(M) = T(A) + \mu_T g - \mu g z$$

Or $T(A) \gg m_T g \geq \mu g z$ avec $z \in [0, L]$

Donc on peut négliger le poids de la corde. Ainsi $\underline{T(M) \approx T(A)}$

2. Système : élément de corde entre z et $z+dz$, de masse $dm = \mu dz$

Référentiel lié à B supposé galiléen

Forces : $\vec{T}(z+dz, t)$: tension aval

$-\vec{T}(z, t)$: tension amont.

Principe fondamental de la dynamique

$$dm \vec{a}(z, t) = \vec{T}(z+dz, t) - \vec{T}(z, t)$$

$$\begin{aligned} \text{Projection selon } \vec{e}_x : \quad \mu dz \frac{\partial^2 x}{\partial t^2}(z, t) &= T(z+dz, t) \sin(\theta(z+dz, t)) \\ &\quad - T(z, t) \sin(\theta(z, t)) \quad (\alpha) \end{aligned}$$

$$\begin{aligned} \text{selon } \vec{e}_y : \quad 0 &= T(z+dz, t) \cos(\theta(z+dz, t)) \\ &\quad - T(z, t) \cos(\theta(z, t)) \quad (b) \end{aligned}$$

Or $\theta \ll 1 \text{ rad} \rightarrow \sin \theta \approx \theta ; \cos \theta \approx 1$ au 1^{er} ordre

$$\text{et } \tan \theta = \frac{\partial x}{\partial z} \approx \theta$$

$$(a) \Rightarrow 0 = T(z+dz, t) - T(z, t) \quad \text{ainsi } T \text{ est indépendant de } z$$

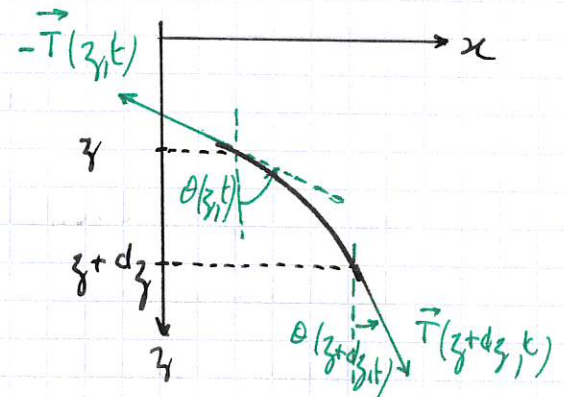
$$\begin{aligned} (b) \Rightarrow \mu dz \frac{\partial^2 x}{\partial t^2}(z, t) &= T \left(\frac{\partial x}{\partial z}(z+dz, t) - \frac{\partial x}{\partial z}(z, t) \right) \quad \left(\frac{T = T(A)}{\mu = \mu_T} \right) \\ &= T \frac{\partial^2 x}{\partial z^2} dz \quad \rightarrow \frac{\partial^2 x}{\partial t^2} - \frac{T}{\mu} \frac{\partial^2 x}{\partial z^2} = 0 \end{aligned}$$

On pose $c = \sqrt{\frac{T(A)}{\mu}}$ A.N: $c = 32 \text{ ms}^{-1}$

3. Fixée à ses deux extrémités, on cherche des solutions stationnaires (i.e. à variables séparées) que l'on injecte dans l'équation d'onde :

$$X(z) \ddot{A}(t) - c^2 X''(z) A(t) = 0, \text{ on divise par } X(z) A(t) \neq 0$$

$$\frac{\ddot{A}(t)}{A(t)} = \frac{c^2 X''(z)}{X(z)} \quad \text{Or } z \text{ et } t \text{ sont des variables indépendantes}$$



D'où $\frac{X''(z)}{X} = -k^2$: constante positive, permettant ainsi des solutions bornées.

$$\frac{\ddot{A}(t)}{A} = -k^2 c^2 = -\omega^2$$

$$\Rightarrow \begin{cases} X(z) = \alpha \cos(kz + \varphi) \\ A(t) = \beta \cos(\omega t + \psi) \end{cases} \quad x(z,t) = C \cos(kz + \varphi) \cos(\omega t + \psi)$$

Conditions limites : $x(0,t) = C \cos(\varphi) \cos(\omega t + \psi) = 0 \quad \forall t$
on peut choisir $\varphi = -\pi/2$

$$x(L,t) = C \sin(kL) \cos(\omega t + \psi) = 0 \quad \forall t$$

$$\Rightarrow x(z,t) = C \sin\left(\frac{n\pi z}{L}\right) \cos(\omega t + \psi) \quad L \cdot kL = n\pi, \quad n \in \mathbb{N}^*$$

Condition initiale : $x(z,0) = a \sin\left(\frac{n\pi z}{L}\right) = C \sin\left(\frac{n\pi z}{L}\right) \cos(\psi)$.

Donc $n=1$, on choisit $\psi=0$, ainsi $C=a$.

$$\Rightarrow x(z,t) = a \sin\left(\frac{\pi z}{L}\right) \cos(\omega t)$$

N.B.: $\frac{\partial x}{\partial t} = -wa \sin\left(\frac{\pi z}{L}\right) \sin(\omega t)$. Ainsi le choix $\psi=0$ assure que la vitesse initiale de tout point de la corde est nulle.

4. L'équation d'onde étant linéaire, la superposition de deux modes propres est encore solution.

Par analogie avec 3), on écrit la solution :

$$x(z,t) = a \sin\left(\frac{\pi z}{L}\right) \cos(\omega t) + b \sin\left(\frac{4\pi z}{L}\right) \cos(4\omega t)$$

5. On constate sans surprise que lorsque l'amplitude a de la déformation de la corde augmente, celle-ci s'allonge car $\omega = kc = \frac{n\pi c}{L}$.

L'hypothèse de masse linéique constante n'est alors plus valable. La célérité des ondes change donc également car

$$c = \sqrt{\frac{T}{\mu(L)}} = \sqrt{\frac{T L}{m_T}} : \text{la célérité est donc une fonction croissante de la déformation } x.$$

6- Ici, $T(A) = 0$. Donc d'après 1), $T(z) = \mu g(L-z)$

7- En reprenant l'équation b) du 2), projection du P.F.D. selon (ou) dans l'approximation des petits déplacements

$$\begin{aligned} \mu dz \frac{\partial^2 x}{\partial t^2} &= T(z+dz) \frac{\partial^2 x}{\partial z^2}(z+dz, t) - T(z) \frac{\partial^2 x}{\partial z^2}(z, t) \\ &= \frac{\partial}{\partial z} \left(T \cdot \frac{\partial x}{\partial z} \right) dz = \left(\frac{\partial T}{\partial z} \cdot \frac{\partial x}{\partial z} + T(z) \frac{\partial^2 x}{\partial z^2} \right) dz \\ \rightarrow \frac{\partial^2 x}{\partial t^2} &= -g \frac{\partial x}{\partial z} + g(L-z) \frac{\partial^2 x}{\partial z^2} \end{aligned}$$

8- On ajoute la force de frottement visqueux au PFD précédent.

On obtient alors

$$\frac{\partial^2 x}{\partial t^2} = -g \frac{\partial x}{\partial z} + g(L-z) \frac{\partial^2 x}{\partial z^2} - \frac{\alpha}{\mu} \frac{\partial x}{\partial t}$$

9- Pour $z \ll L$, l'équation devient

$$\frac{\partial^2 x}{\partial t^2} = -g \frac{\partial x}{\partial z} + g L \frac{\partial^2 x}{\partial z^2} - \frac{\alpha}{\mu} \frac{\partial x}{\partial t}$$

On y injecte la solution proposée. Toutes simplifications faites, il vient

$$-\omega^2 = +jkg - k^2 gl - j\omega \frac{\alpha}{\mu}$$

Si k est réelle alors la partie imaginaire de cette équation vérifie

$$+k^2 gl - \omega \frac{\alpha}{\mu} = 0 \rightarrow \alpha = \alpha_0 = \frac{\mu kg}{\omega}$$

Par ailleurs, la partie réelle vérifie : $-\omega^2 = -k^2 gl \rightarrow k = \frac{\omega}{\sqrt{gl}}$

d'où $\alpha_0 = \mu \sqrt{\frac{g}{L}}$

10- On injecte la solution dans l'équation du 7. Il vient pour $z \ll L$:

$$-\omega^2 = -k^2 gl + jkg \quad \text{or} \quad k = k_1 + jk_2$$

$$\Rightarrow -\omega^2 = -(k_1^2 + k_2^2) gl - 2jk_1 k_2 gl + jkg - k_2 g$$

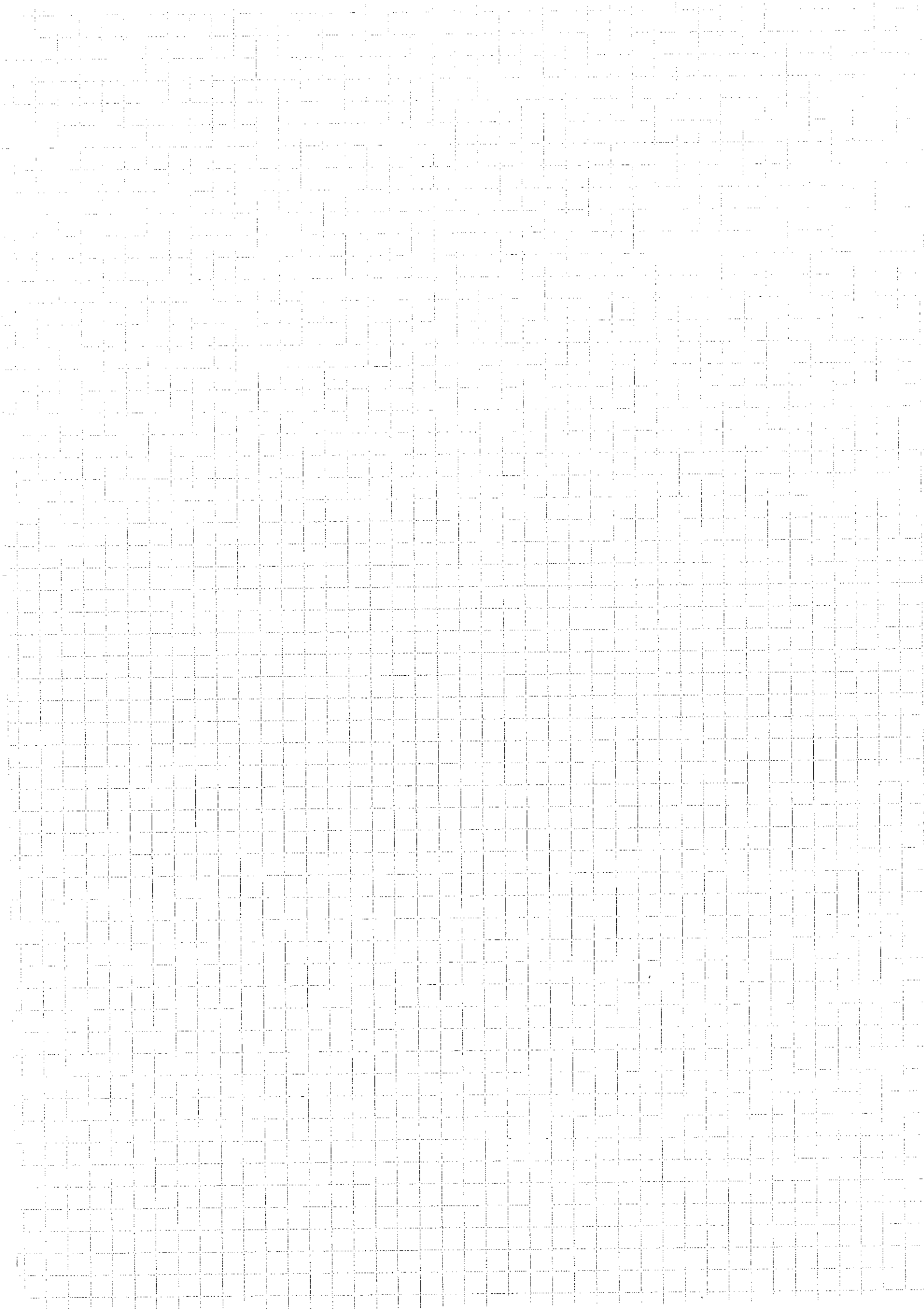
La partie imaginaire vérifie $2jk_1 k_2 gl = jkg \rightarrow k_2 = \frac{1}{2L} > 0$
Ainsi $x = x_0 e^{j\omega t} e^{j(k_1 z - k_2 z^2/2L)}$, où $x_0 = x_0 e^{j\arg(x_0)}$

donc $x = Re x = x_0 e^{j\omega t} \cos(\omega t - k_1 z + \arg(x_0))$ d'amplitude croissante.

11- La partie réelle de l'équation du 10 donne $\omega^2 = (k_1^2 - \frac{1}{4L^2}) gl - \frac{g}{2L}$

$$\Rightarrow k_1^2 = \frac{1}{gl} \left(\omega^2 - \frac{g}{4L} \right) > 0 \text{ donc } k_1 \text{ réel si } \omega > \sqrt{\frac{g}{4L}}$$

$\sqrt{\frac{g}{4L}}$ constitue donc une pulsation de coupure. On voit se comporter comme un filtre PASSE HAUT.



OSCILLATEURS ET MODES PROPRES

(Agrégation 2023)

Q1 - $\vec{F}_1' = -k'(l_0 + x_2 - x_1 - l_0)(-\vec{e}_x) \Rightarrow \vec{F}_1' = k'(x_2 - x_1)\vec{e}_x$

Q2 - $\vec{F}_2' = -k'(l_0 + x_2 - x_1 - l_0)\vec{e}_x \Rightarrow \vec{F}_2' = -k'(x_2 - x_1)\vec{e}_x$

Q3. * Référentiel : R lié au bâti, supposé galiléen

Système : M_1 .

Forces appliquées : $\vec{F}_1 = -k(l_0 + x_1 - l_0)\vec{e}_x = -kx_1\vec{e}_x$

$$\vec{F}_1' = k'(x_2 - x_1)\vec{e}_x.$$

L^e loi de Newton : $m_1 \ddot{x}_1 = -kx_1 - k'(x_2 - x_1) \Rightarrow \ddot{x}_1 + \frac{k+k'}{m}x_1 = \frac{k'}{m}x_2$ (1)

* Système : M_2

Forces appliquées : $\vec{F}_2 = -k(l_0 - x_2 - l_0)\vec{e}_x = -kx_2\vec{e}_x$

$$\vec{F}_2' = -k'(x_2 - x_1)\vec{e}_x.$$

L^e loi de Newton : $m_2 \ddot{x}_2 = -kx_2 - k'(x_2 - x_1) \Rightarrow \ddot{x}_2 + \frac{k+k'}{m}x_2 = \frac{k'}{m}x_1$

Q4 - (1)+(2) : $\ddot{s} + \frac{k+k'}{m}s = \frac{k'}{m}s \Rightarrow \ddot{s} + \frac{k}{m}s = 0$ (3)

(1)-(2) : $\ddot{s} + \frac{k+k'}{m}d = -\frac{k'}{m}d \Rightarrow \ddot{s} + \frac{k+2k'}{m}d = 0$ (4)

Q5. * Solution de (3) : $\omega_s^2 = \frac{k}{m} \rightarrow s(t) = A \cos(\omega_s t) + B \sin(\omega_s t)$

* Solution de (4) : $\omega_a^2 = \frac{k+2k'}{m} \rightarrow d(t) = C \cos(\omega_a t) + D \sin(\omega_a t)$.

Q6 - $x_1 = \frac{s+d}{2} \Rightarrow x_1 = \frac{1}{2} [A \cos(\omega_s t) + B \sin(\omega_s t) + C \cos(\omega_a t) + D \sin(\omega_a t)]$

$$x_2 = \frac{s-d}{2} \Rightarrow x_2 = \frac{1}{2} [A \cos(\omega_s t) + B \sin(\omega_s t) - C \cos(\omega_a t) - D \sin(\omega_a t)]$$

Q7 - $\dot{s} = \omega_s (-A \sin(\omega_s t) + B \cos(\omega_s t))$

$$\dot{d} = \omega_a (-C \sin(\omega_a t) + D \cos(\omega_a t))$$

Conditions initiales : $s(0) = x_1(0) + x_2(0) = 2x_0 = B\omega_s \Rightarrow B = \frac{2x_0}{\omega_s}$

$$d(0) = x_1(0) - x_2(0) = 0 = C$$

$$\dot{d}(0) = \dot{x}_1(0) - \dot{x}_2(0) = 0 = D\omega_a \Rightarrow D = 0$$

$$s(0) = x_1(0) + x_2(0) = 2x_0 = A \Rightarrow$$

$\Rightarrow s(t) = 2(x_0 \cos(\omega_s t) - \frac{x_0}{\omega_s} \sin(\omega_s t)) ; d(t) = 0$

Q7

$$x_1(t) = \frac{s(t)}{2} = x_0 \cos(\Omega_a t) + \frac{x_0}{\Omega_a} \sin(\Omega_a t)$$

$$x_2(t) = \frac{s(t)}{2} = x_0 \cos(\Omega_a t)$$

M₁ et M₂ sont synchrones et en phase courue reliées par une tige rigide de raideur infinie.

Il semble donc cohérent que l'¹ ne figure pas dans la solution.

Q9 - Proposons les conditions initiales

$$\begin{cases} x_1(0) = -x_2(0) = x_0 \\ \dot{x}_1(0) = -\dot{x}_2(0) = v_0 \end{cases}$$

$$\Rightarrow \begin{cases} A(0) = 0 \\ B(0) = 0 \end{cases} \Rightarrow \begin{cases} A = 0 \\ B = 0 \end{cases} \quad \begin{cases} C(0) = 2x_0 \\ D(0) = 2v_0 \end{cases} \Rightarrow \begin{cases} C = 2x_0 \\ D = \frac{4v_0}{\Omega_a} \end{cases}$$

$$\Rightarrow \begin{cases} s(t) = 0 \\ d(t) = 2 \left(x_0 \cos(\Omega_a t) + \frac{x_0}{\Omega_a} \sin(\Omega_a t) \right) \end{cases}$$

M₁ et M₂ sont alors synchrones et en opposition de phase.

- Q10 - (a) : mode symétrique : x₁ et x₂ synchrones en phase
 (b) : mode antisymétrique : x₁ et x₂ synchrones en opposition de phase.

Q11 - On lit :

	mode symétrique	mode antisymétrique
x ₁ (0) (cm)	2	2
x ₂ (0) (cm)	2	-2
v ₁ (0)	0	0
v ₂ (0)	0	0

Q12 - Graphes (a) : $\Omega_s = \frac{2\pi}{T_s} = \frac{2\pi}{2,1} \Rightarrow \Omega_s = 3,1 \text{ rad s}^{-1}$

" (b) : $\Omega_a = \frac{2\pi}{T_a} = \frac{2\pi}{1,8} \Rightarrow \Omega_a = 3,5 \text{ rad s}^{-1}$

$$k = m \Omega_s^2 = 0,99 \text{ N.m}^{-1}$$

$$k' = \frac{1}{2} m (\Omega_a^2 - \Omega_s^2) = 0,12 \text{ N.m}^{-1}$$

Q13 - Référentiel R

Système : atome n de masse m.
 Forces appliquées : $\vec{F}_d = -\alpha (a + u_{n+1} - u_n - a) \vec{e}_x = -\alpha (u_{n+1} - u_n) \vec{e}_x$

$$\vec{F}_g = -\alpha (a + u_n - u_{n-1} - a) \vec{e}_x = -\alpha (u_{n-1} - u_n) \vec{e}_x$$

PFD selon \vec{e}_x : $m \frac{d^2 u_n}{dt^2} = -\alpha (u_{n+1} - u_n) + \alpha (u_{n-1} - u_n)$

$$\rightarrow \frac{d^2 u_n}{dt^2} + \frac{2\alpha}{m} u_n = \frac{\alpha}{m} u_{n+1} + \frac{\alpha}{m} u_{n-1}$$

Q14 - On cherche à une solution en onde plane, harmonique, progressive

Q15 - On inscrit cette solution dans l'équation du mouvement précédente en notation complexe (puisque l'équation est linéaire)

$$-\omega^2 \underline{u}_n + \frac{\ell\alpha}{m} \underline{u}_n = \frac{\alpha}{m} A e^{i(k(x_n+a)-\omega t)} + \frac{\alpha}{m} A e^{i(k(x_n-a)-\omega t)}$$

$$= \frac{\alpha}{m} \underline{u}_n (e^{ika} + e^{-ika})$$

$$= \frac{\ell\alpha}{m} \underline{u}_n \cos(ka).$$

$$\Rightarrow \left[-\omega^2 + \frac{\ell\alpha}{m} (1 - \cos(ka)) \right] \underline{u}_n = 0 \quad \text{or} \quad 1 - \cos(ka) = 2 \sin^2\left(\frac{ka}{2}\right)$$

$$\Rightarrow -\omega^2 + \frac{4\alpha}{m} \sin^2\left(\frac{ka}{2}\right) = 0 \quad \Rightarrow \sin^2\left(\frac{ka}{2}\right) = \frac{m\omega^2}{4\alpha}$$

Q16 - La fonction $\sin^2\left(\frac{\theta}{2}\right)$ est π -périodique pour $\frac{\theta}{2} = \frac{ha}{2}$ donc $\frac{ha}{2}$ -périodique.
 De plus $\sin\left(\frac{\theta}{2}\right)$ est paire. On peut donc restreindre l'étude à $ha \in [0, \pi]$ (de plus $ha > 0$ par définition).

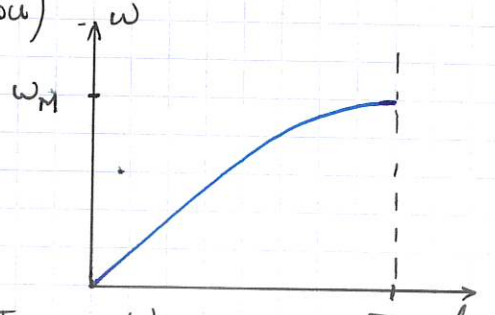
$$\omega = 2 \sqrt{\frac{\alpha}{m}} \left| \sin\left(\frac{ha}{2}\right) \right|$$

Q17 $\left| \sin\left(\frac{ha}{2}\right) \right| \leq 1 \Rightarrow \omega_M = 2 \sqrt{\frac{\alpha}{m}}$

Pour $\omega = \omega_M$; $ha = \pi$:

$$\underline{u}_{n+1} = A e^{i\frac{\pi}{a}(x_n+a)-\omega_M t} = A e^{i\pi} e^{i\frac{\pi}{a}u_n - \omega_M t}$$

$\underline{u}_{n+1} = -\underline{u}_n$ | les atomes adjacents vibrent en opposition de phase. (mode antisymétrique)



Q18 - Approximation des milieux continus: $a \ll \lambda \Rightarrow ha = \frac{ha}{\lambda} \ll 1$.

Q19 - D'après Q13: $\frac{\partial^2 u}{\partial t^2} = \frac{\partial^2 u}{\partial x^2}$; $u_{n+1} = u_n + a \frac{\partial u}{\partial x}(u+d\alpha, t)$; $u_{n-1} = u_n - a \frac{\partial u}{\partial x}(u, t)$

$$\frac{\partial^2 u}{\partial t^2} + \frac{\ell\alpha}{m} u = \frac{\alpha}{m} \left[u_n + a \frac{\partial u}{\partial x}(u+d\alpha, t) + u_n - a \frac{\partial u}{\partial x}(u, t) \right]$$

$$\rightarrow \frac{\partial^2 u}{\partial t^2} = \frac{\alpha a}{m} \left(\frac{\partial u}{\partial x}(u+d\alpha, t) - \frac{\partial u}{\partial x}(u, t) \right) = \frac{\alpha a}{m} \frac{\partial^2 u}{\partial x^2} \text{ du où } \underline{du} = a.$$

$$\rightarrow \frac{\partial^2 u}{\partial t^2} - \frac{\alpha a^2}{m} \frac{\partial^2 u}{\partial x^2} = 0 \quad | \quad \text{On pose } V = \sqrt{\frac{\alpha a^2}{m}}$$

Q20 - V est la vitesse des ondes longitudinales dans le solide.

A.N.: $V = 9,3 \text{ km s}^{-1}$; $f_m = \frac{1}{\pi} \sqrt{\frac{\alpha}{m}} = 7,4 \text{ THz}$: ondes ultrasonores.

Q21. Onde stationnaire: Onde qui ne se propage pas, caractérisée par une fonction d'onde à variables séparées: $y(x,t) = f(x)g(t)$. 4

$$y(x,t) = A \cos(\omega t + \varphi) \cos(kx + \psi)$$

où $k = \frac{\omega}{V_m}$ car l'onde est une solution de l'équation de D'Alembert.

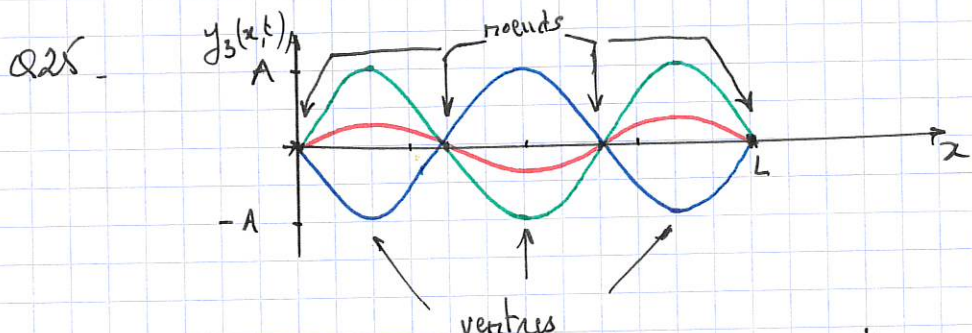
Q22. Conditions limites: $y(0,t) = 0$
 $y(L,t) = 0$

$$y(0,t) = A \cos(\omega t + \varphi) \cos \psi = 0 \quad \text{choisissons } \psi = -\frac{\pi}{2}$$

$$y(L,t) = A \cos(\omega t + \varphi) \sin(kL) = 0 \Rightarrow k_p = p \frac{\pi}{L} \quad p \in \mathbb{N}^*$$

Q23. $\omega_p = k_p V_m = p \frac{\pi V_m}{L}$

Q24. $y_p(x,t) = A_p \cos(\omega_p t + \varphi) \sin(p \frac{\pi x}{L})$



on choisit $\varphi = 0$

Grandeur de propagation	$u(x,t)$	onde de Mclde
Équation de propagation	$\frac{\partial^2 u}{\partial t^2} - V^2 \frac{\partial^2 u}{\partial x^2} = 0$	$\frac{\partial^2 y}{\partial t^2} - V_m^2 \frac{\partial^2 y}{\partial x^2} = 0$
Conditions aux limites	$u(0,t) = u(L,t) = 0$	$y(0,t) = y(L,t) = 0$

Célérité $V = \alpha \sqrt{\frac{\kappa}{m}}$

$$V_m = \sqrt{\frac{T_0}{\mu}}$$

Q27. $\omega_p = p \pi \frac{V}{L} = p \pi \frac{\alpha}{L} \sqrt{\frac{\kappa}{m}}$

Q28. $\omega_m = 2 \sqrt{\frac{\kappa}{m}} = 46 \cdot 10^{12} \text{ rad s}^{-1}$ et $\omega_1 = \pi \frac{\alpha}{L} \sqrt{\frac{\kappa}{m}} = 2,9 \cdot 10^5 \text{ rad s}^{-1}$

$$\omega_1 \ll \omega_m$$

Pour une excitation quelconque de la tige en silicium, un très grand nombre de modes propres secondes excités simulant un spectre quasi-continu comme si la tige était semi-infinie des conditions limites sont à cette échelle ($a \ll L$) peu d'influence.

